



**Universidade de Brasília**

DEPARTAMENTO DE ESTATÍSTICA

25 junho 2023

## **Lista 7 - Normal Multivariada**

Prof. Dr. George von Borries

Análise Multivariada 1

Aluno: Bruno Gondim Toledo | Matrícula: 15/0167636

## Questão 55

```
mu <- c(3, 2)
sigma <- matrix(c(1, -1.5, -1.5, 4), 2)
set.seed(150167636)
mvrnorm(20, mu, sigma)
```

```
##           [,1]      [,2]
## [1,] 2.713068 2.2421326
## [2,] 3.168527 1.8305926
## [3,] 3.281616 3.6377464
## [4,] 1.225270 3.8406363
## [5,] 2.788789 1.6138664
## [6,] 2.971249 0.3776516
## [7,] 3.139249 -2.2801139
## [8,] 2.729603 0.9393494
## [9,] 2.447450 2.9861925
## [10,] 3.184863 -0.9861318
## [11,] 1.798995 3.6115228
## [12,] 1.712520 4.5234829
## [13,] 3.756708 -0.3153063
## [14,] 2.796773 1.9171775
## [15,] 3.142316 1.5452393
## [16,] 3.364824 1.9736312
## [17,] 1.625479 4.5668874
## [18,] 3.363095 1.8630202
## [19,] 3.756838 1.1431897
## [20,] 3.831592 -0.5266128
```

## Questão 56

$\mathbf{X} \sim \mathbf{N}_P(\mu, \Sigma)$ , Então:  $\mathbf{U} = (\mathbf{X} - \mu)' \Sigma^{-1} (\mathbf{X} - \mu)$ .

Sol:

Seja  $Z \sim N_P(0, I)$ ;

$\sum_{i=1}^P \mathbf{Z}_i^2 = \mathbf{Z}^T \mathbf{Z} \sim \chi_P^2$ . Mas,  $\mathbf{Z}^T \mathbf{Z} = (\mathbf{Y} - \mu)^T (\Sigma^{1/2})^{-1} (\Sigma^{1/2})^{-1} (\mathbf{Y} - \mu) = (\mathbf{Y} - \mu)^T \Sigma^{-1} (\mathbf{Y} - \mu) \sim \chi_P^2$ .

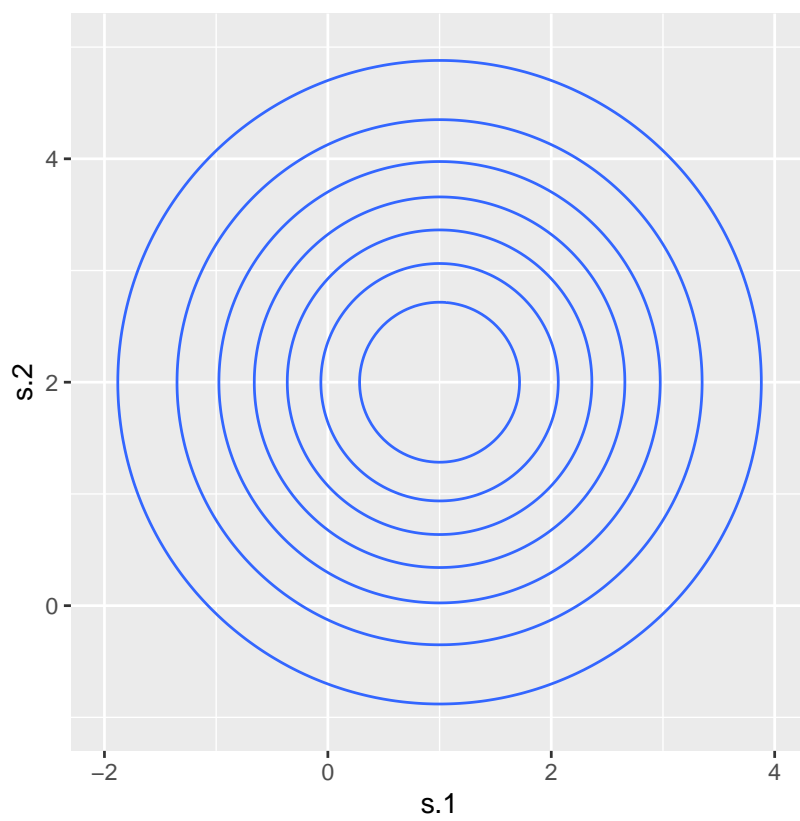
Seja  $\mathbf{Y} = \mathbf{X}$ . Então:  $(\mathbf{X} - \mu)^T \Sigma^{-1} (\mathbf{X} - \mu) \sim \chi_P^2$

□

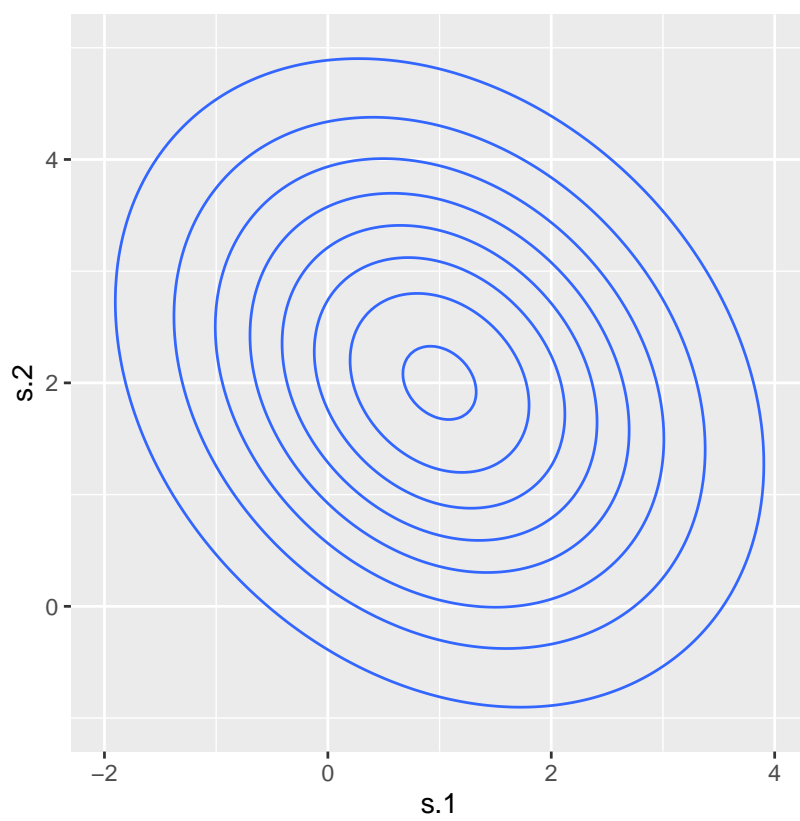
## Questão 57

Ao invés das elipses, irei representar os contornos, pois encontrei uma função que faz e traz uma representação mais interessante, na minha opinião, para a normal bivariada.

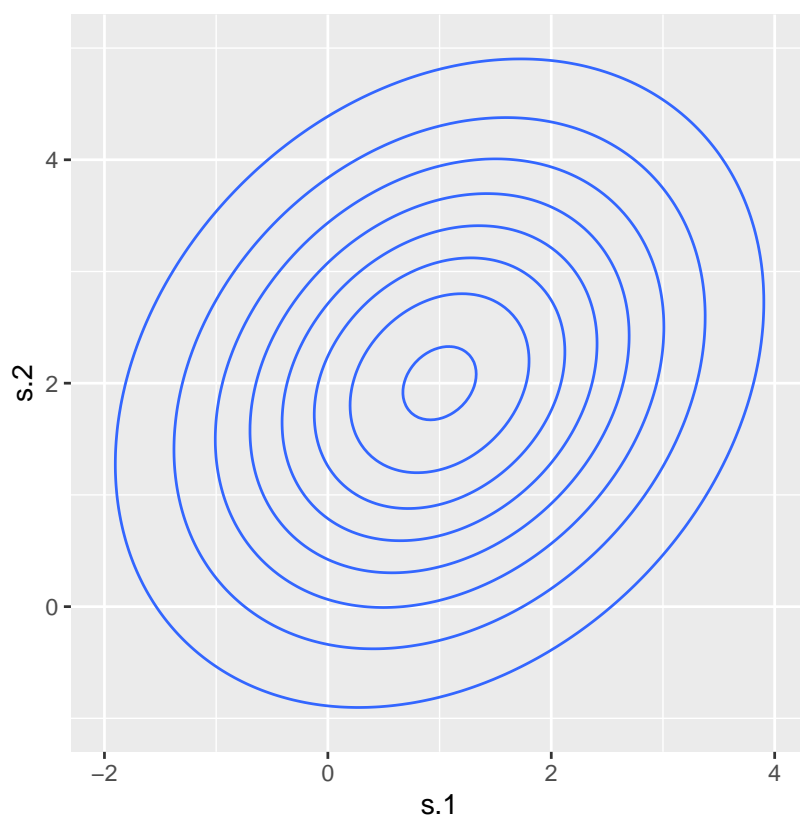
$$a = 0$$



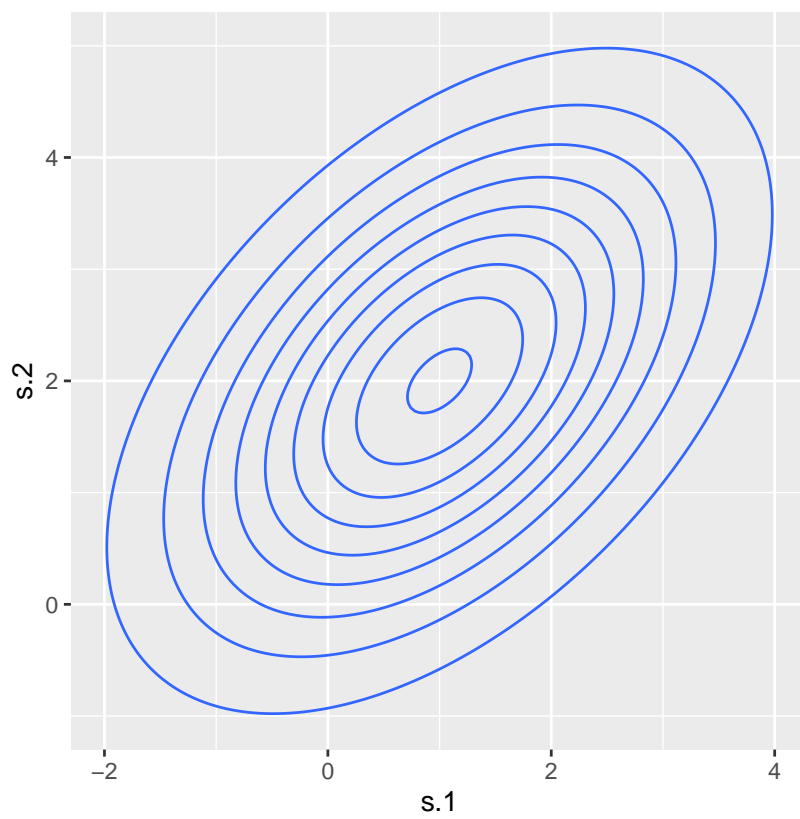
$$a = -1/2$$



$$a = 1/2$$



$$a = 1$$



## Questão 58

$\mathbf{X} \sim \mathbf{N}(\mu, \Sigma)$  tal que

$$\mu = \begin{bmatrix} 2 \\ 2 \end{bmatrix}; \Sigma = \begin{bmatrix} 1 & 0 \\ 0 & 1 \end{bmatrix}$$

E  $\mathbf{A} = \begin{bmatrix} 1 & 1 \end{bmatrix}$ ;  $\mathbf{B} = \begin{bmatrix} 1 & -1 \end{bmatrix}$ . Mostre que  $\mathbf{AX}$  é independente de  $\mathbf{BX}$

Solução:

Como  $\Sigma_{12} = 0$ , temos que os vetores  $\mathbf{Y}_1$  e  $\mathbf{Y}_2$  amostras de  $\mathbf{X}$  são independentes.

Seja

$$\mathbf{Y}_1 = \mathbf{AX} = \begin{bmatrix} 1 & 1 \end{bmatrix} \begin{bmatrix} X_1 \\ X_2 \end{bmatrix} = X ;$$

e

$$\mathbf{Y}_2 = \mathbf{BX} = \begin{bmatrix} 1 & -1 \end{bmatrix} \begin{bmatrix} X_1 \\ X_2 \end{bmatrix} = \begin{bmatrix} X_1 \\ -X_2 \end{bmatrix} \neq X .$$

Que são independentes por  $\Sigma_{12} = 0$ . Logo,  $Cov(\mathbf{Y}_1, \mathbf{Y}_2) = 0$

□

## Questão 59

Seja

$$\mathbf{X} = \begin{bmatrix} X_1 \\ X_2 \end{bmatrix} \sim \mathbf{N}_{\mathbf{P}}(\mu, \Sigma); \Sigma = \begin{bmatrix} \Sigma_{11} & \Sigma_{12} \\ \Sigma_{21} & \Sigma_{22} \end{bmatrix} ;$$

Provar que  $\Sigma_{12} = 0 \iff x_1$  independente de  $x_2$

Prova:

Se as variáveis aleatórias são não correlacionadas, então  $\Sigma$  é diagonal. Neste caso, a forma quadrática  $(\mathbf{x} - \mu)' \Sigma^{-1} (\mathbf{x} - \mu)$  é reduzida à uma soma de quadrados, assim como a densidade dos fatores no produto das densidades marginais, o que implica em independência. [4]

Neste caso,  $\Sigma_{12} = \Sigma_{21}$  representa a totalidade da correlação. Como ela é 0, a prova acima se aplica, definindo portanto a independência de  $\mathbf{x}_1, \mathbf{x}_2$

□

## Questão 60

### Ex. 4.26 | Johnson & Wichern

a)

De  $x_1$  e  $x_2$ , obtemos: o o vetor de médias  $\mu =$

```
##          [,1]
## [1,]    5.200
## [2,]   12.481
```

A matriz  $\mathbf{S} =$

```
##          [,1]      [,2]
## [1,]  10.62222 -17.71022
## [2,] -17.71022  30.85437
```

E a inversa  $\mathbf{S}^{-1} =$

```
##          [,1]      [,2]
## [1,]  2.189813  1.2569395
## [2,]  1.256939  0.7538861
```

Com isso, podemos calcular as distâncias estatísticas quadradas

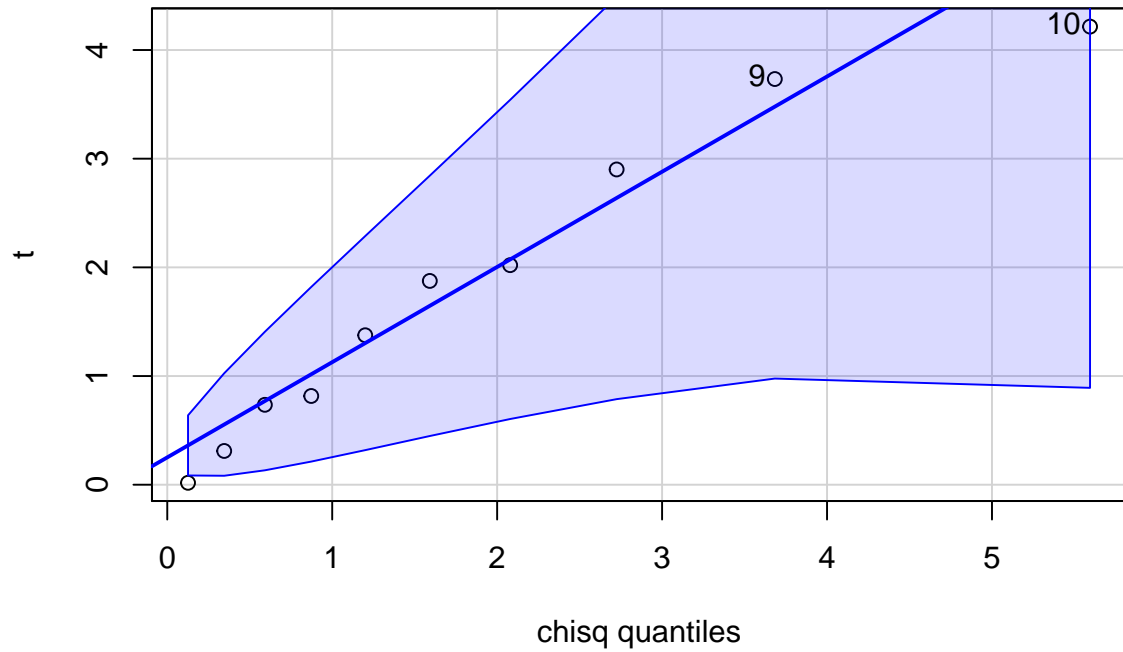
$$d_j^2 = (\mathbf{x}_j - \bar{\mathbf{x}})^T \mathbf{S}^{-1} (\mathbf{x}_j - \bar{\mathbf{x}}) = [1.8753045, 2.0203262, 2.9009088, 0.7352659, 0.3105192, 0.0176162, 3.7329012, 0.8165401, 1.3753379, 4.2152799]$$

**b)**

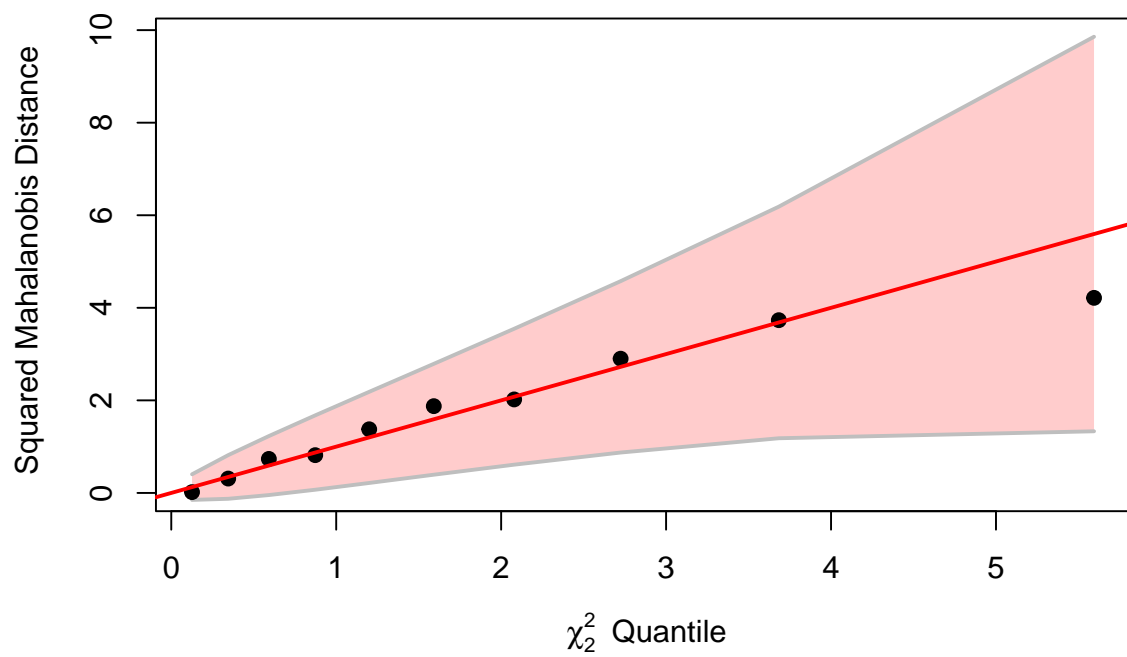
Neste caso, iremos comparar os valores  $d_j^2$  com o quantil  $\chi_2^2(0,5) = 1.3862944$  e avaliar a proporção de observações na margem de aceitação, que para este caso é 50%

c)

Duas representações gráficas análogas:



**Chi-Square Q-Q Plot of data.frame(x1, x2)**



d)

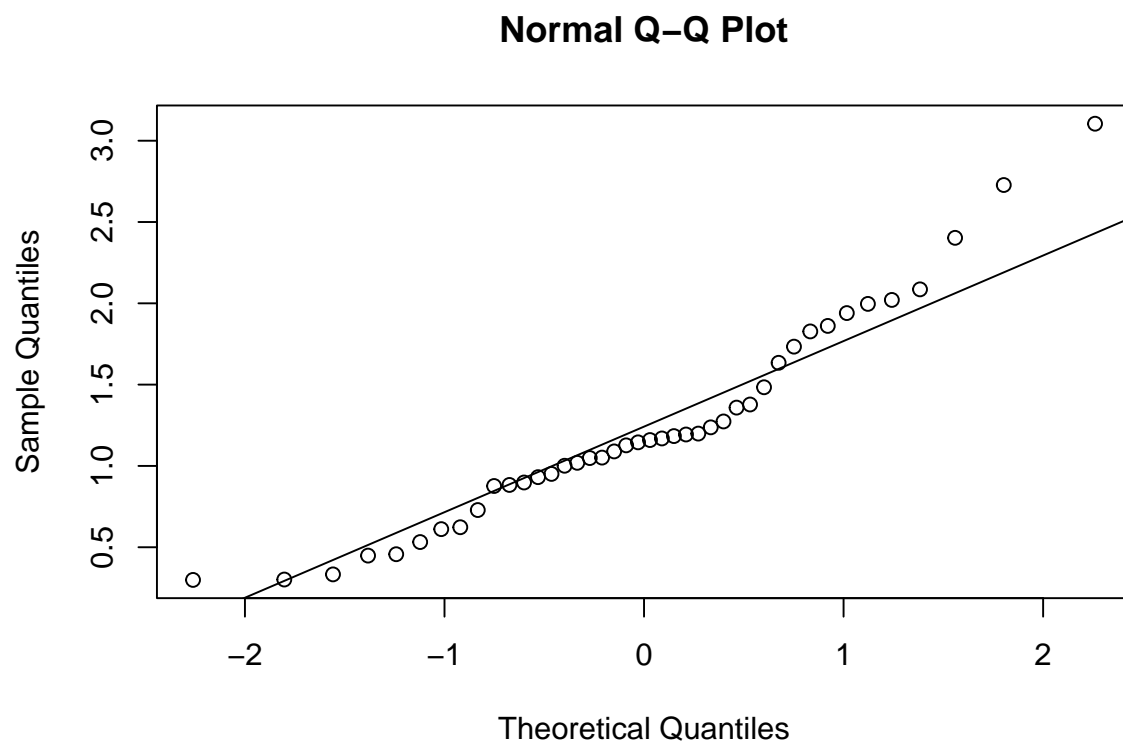
Pelo resultado da proporção de distâncias não rejeitadas pelo quantil qui-quadrado, pelo baixo número de dados e pelos gráficos acima, creio não haver evidências suficientes para rejeitar a normalidade bivariada destes dados

## Questão 61

### Ex. 4.27 | Johnson & Wichern

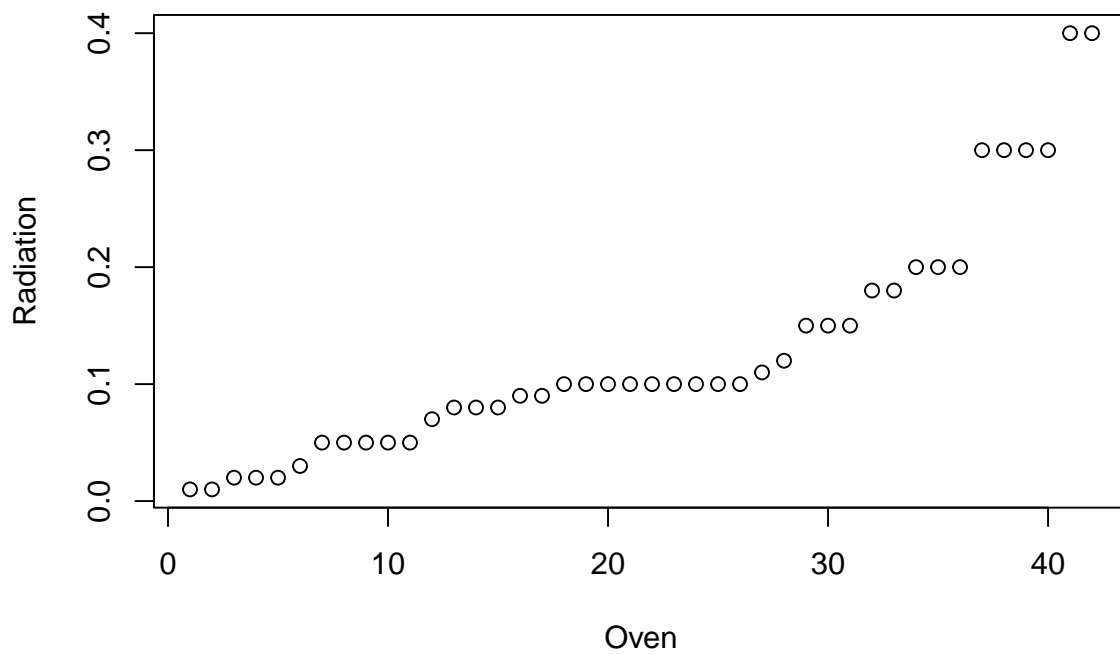
Algumas opções de teste de normalidade multivariada

Caso 1: Variáveis sem transformação



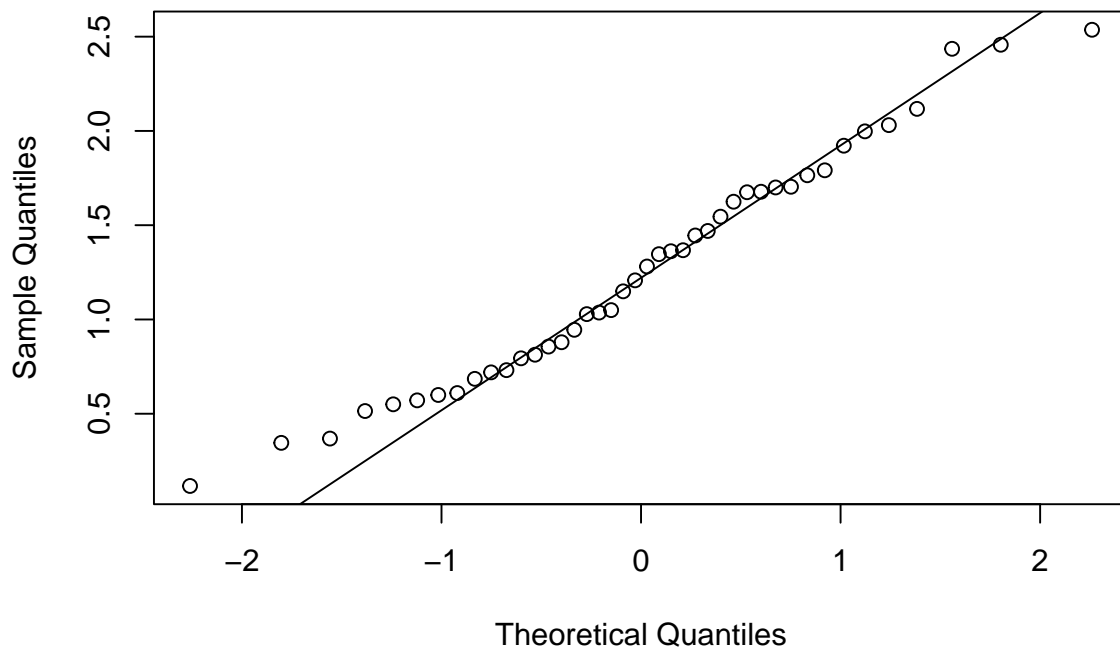
Test	HZ	p value	MVN
Henze-Zirkler	1.520541	0.0007484	NO



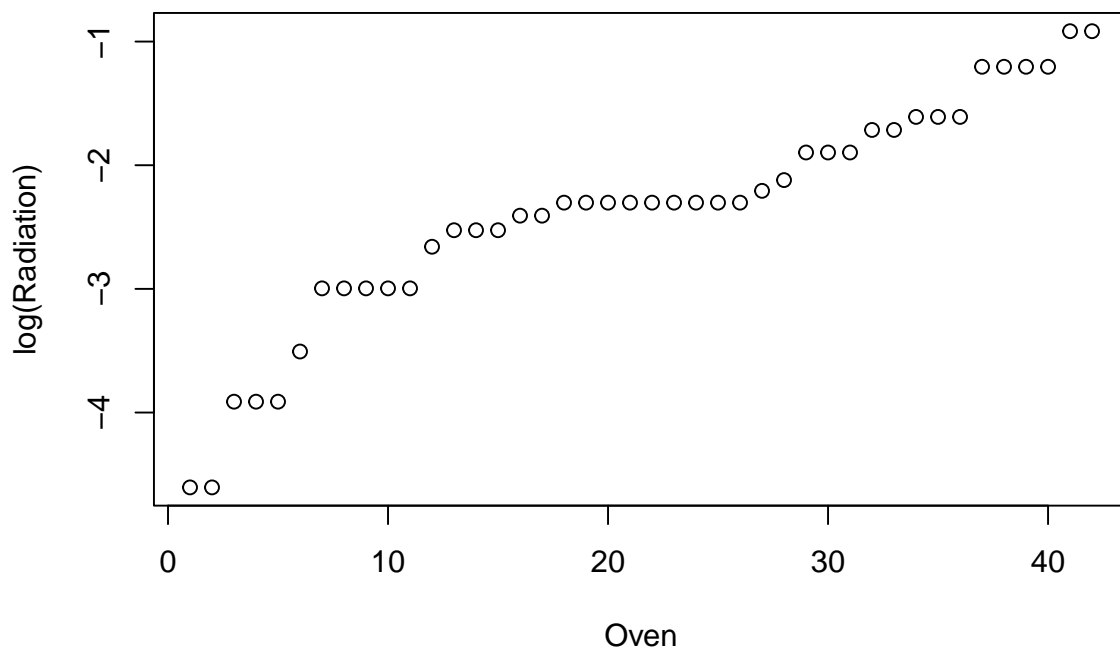


Caso 2: Variáveis com transformação  $\lambda = 0$  (ln)

### Normal Q-Q Plot

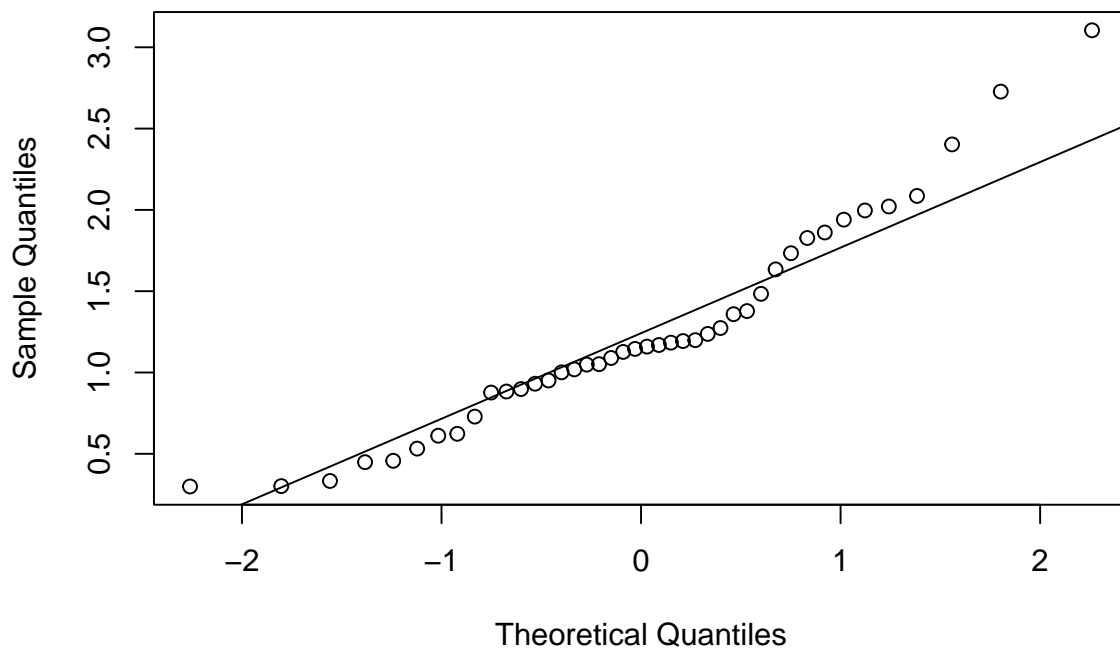


Test	HZ	p value	MVN
Henze-Zirkler	1.22835	0.0045145	NO

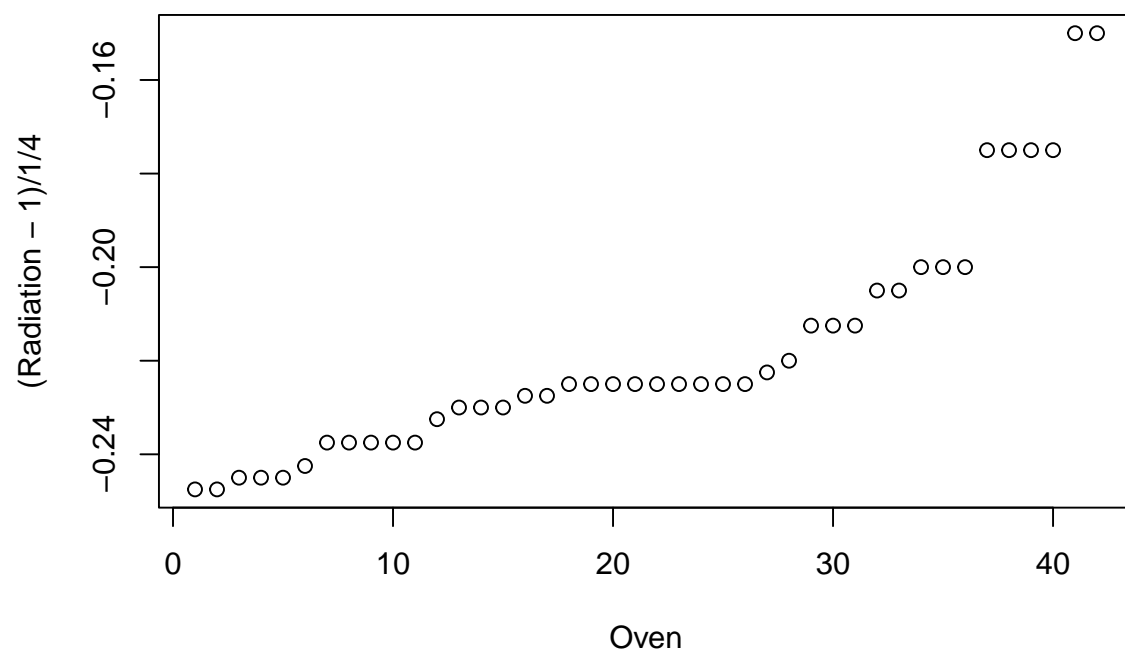


Caso 3: Variáveis com transformação  $\lambda = 1/4 \left( \frac{x^{(\lambda)} - 1}{\lambda} \right)$

### Normal Q-Q Plot



Test	HZ	p value	MVN
Henze-Zirkler	1.520541	0.0007484	NO

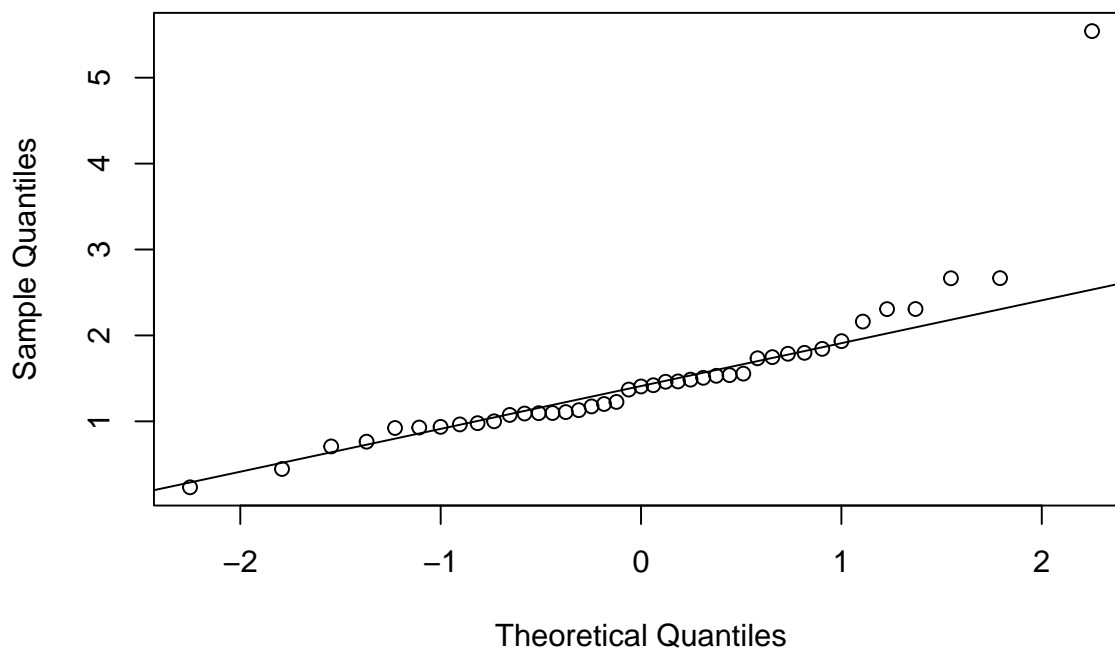


Portanto, apesar de ser bem difícil de inferir uma conclusão, a transformação  $\lambda = 0$  aparenta ter trazido o melhor resultado de normalidade multivariada

## Questão 62

Ex. 4.35 | Johnson & Wichern

Normal Q-Q Plot



Test	HZ	p value	MVN
Henze-Zirkler	1.89379	4e-07	NO

Test	Variable	Statistic	p value	Normality
Anderson-Darling	Density	1.1852	0.0038	NO
Anderson-Darling	Strength_MachineDirection	0.3001	0.5661	YES
Anderson-Darling	Strength_CrossDirection	2.7420	<0.001	NO

	Beta-hat	kappa	p-val
Skewness	17.28145	118.089941	0
Kurtosis	30.62636	9.133963	0

```
##
## Shapiro-Wilk normality test
##
## data: Z
## W = 0.56907, p-value = 8.969e-10
```

Diversos testes de normalidade multivariada e marginal univariada foram testados, e à exceção de um teste de normalidade marginal da variável *Machine Direction*, todos os demais rejeitaram a hipótese nula de normalidade multivariada. Portanto, há evidências para descartar a hipótese nula de normalidade multivariada desses dados. Entretanto, é possível que transformadas dessas variáveis não rejeitem a hipótese nula de normalidade multivariada.

## Questão 63

### Ex. 4.1 | Rencher & Christensen

$$\Sigma_1 = \begin{bmatrix} 14 & 8 & 3 \\ 8 & 5 & 2 \\ 3 & 2 & 1 \end{bmatrix}; \Sigma_2 = \begin{bmatrix} 6 & 6 & 1 \\ 6 & 8 & 2 \\ 1 & 2 & 1 \end{bmatrix}$$

```
S1 <- matrix(c(14,8,3,
               8,5,2,
               3,2,1),3,3)
det1 <- det(S1)
tr1 <- tr(S1)

S2 <- matrix(c(6,6,1,
               6,8,2,
               1,2,1),3,3)
det2 <- det(S2)
tr2 <- tr(S2)
```

Temos que  $|\Sigma_1| = 1$ ;  $|\Sigma_2| = 4$ ;  $tr(\Sigma_1) = 20$  e  $tr(\Sigma_2) = 15$ . Portanto;  $|\Sigma_2| > |\Sigma_1|$  e  $tr(\Sigma_2) < tr(\Sigma_1)$ . O aumento das correlações leva à um decréscimo do determinante. Neste caso, a diminuição das correlações superou o aumento da variância, por isso observamos estes resultados.

## Questão 64

### Ex. 4.2 | Rencher & Christensen

$\mathbf{Z} = (\mathbf{T}')^{-1}(\mathbf{y} - \mu)$ . Mostrar que  $E(\mathbf{Z}) = 0$  e  $cov(\mathbf{Z}) = \mathbf{I}$ .

Demonstração:

$E(\mathbf{Z}) = E[(\mathbf{T}')^{-1}(\mathbf{y} - \mu)]$ . Pela linearidade da esperança, temos

$$(\mathbf{T}')^{-1}[E(\mathbf{y}) - \mu] = (\mathbf{T}')^{-1}[\mu - \mu] = 0.$$

$$Cov(\mathbf{Z}) = Cov[(\mathbf{T}')^{-1}(\mathbf{y} - \mu)]$$

Como  $Cov(\mathbf{A}\mathbf{y} + b) = \mathbf{A}\Sigma\mathbf{A}'$ ; temos:

$$Cov(\mathbf{Z}) = (\mathbf{T}')^{-1}\Sigma[(\mathbf{T}')^{-1}]'$$

Como  $(\mathbf{A}')^{-1} = (\mathbf{A}^{-1})'$ , e  $\mathbf{A} = \mathbf{T}'\mathbf{T}$ ; temos:

$$Cov(\mathbf{Z}) = (\mathbf{T}')^{-1}\Sigma[(\mathbf{T}')^{-1}]' = (\mathbf{T}')^{-1}\mathbf{T}'\mathbf{T}\mathbf{T}^{-1} = \mathbf{I}$$

□

## Questão 65

### Ex. 4.10 | Rencher & Christensen

$$\mathbf{y} \sim \mathbf{N}_3(\mu, \Sigma); \mu = \begin{bmatrix} 3 \\ 1 \\ 4 \end{bmatrix}; \Sigma = \begin{bmatrix} 6 & 1 & -2 \\ 1 & 13 & 4 \\ -2 & 4 & 4 \end{bmatrix}$$

a)

Distribuição de  $\mathbf{z} = 2\mathbf{y}_1 - \mathbf{y}_2 + 3\mathbf{y}_3$ .

Sol.:

$$\mathbf{c}' = [2 \quad -1 \quad 3].$$

Propriedade (Renchner & Christensen; 4.2.1 (a)): Se  $\mathbf{y} \sim \mathbf{N}_P(\mu, \Sigma)$ , então  $\mathbf{a}'\mathbf{y} \sim \mathbf{N}(\mathbf{a}'\mu, \mathbf{a}'\Sigma\mathbf{a})$ .

Então;  $\mathbf{c}'\mathbf{y} \sim \mathbf{N}(\mathbf{c}'\mu, \mathbf{c}'\Sigma\mathbf{c}) = \mathbf{N}(17, 21)$

□

b)

Distribuição conjunta de  $\mathbf{z}_1 = \mathbf{y}_1 + \mathbf{y}_2 + \mathbf{y}_3$  e  $\mathbf{z}_2 = \mathbf{y}_1 - \mathbf{y}_2 + 2\mathbf{y}_3$ .

Sol.:

$$\mathbf{A} = \begin{bmatrix} 1 & 1 & 1 \\ 1 & -1 & 2 \end{bmatrix} = \text{Conjuntos } \mathbf{z}_1 \text{ e } \mathbf{z}_2$$

Propriedade (Rencher & Christensen; 4.2.1 (b)): Seja  $\mathbf{y} \sim \mathbf{N}_P(\mu, \Sigma)$ . Então  $\mathbf{Ay} \sim \mathbf{N}_P(\mathbf{A}\mu, \mathbf{A}\Sigma\mathbf{A}')$

Então:

$$\mathbf{Ay} \sim \mathbf{N}_2(\mathbf{A}\mu, \mathbf{A}\Sigma\mathbf{A}') \rightarrow \mathbf{Ay} \sim \mathbf{N}_2\left(\begin{bmatrix} 8 \\ 10 \end{bmatrix}, \begin{bmatrix} 29 & -1 \\ -1 & 9 \end{bmatrix}\right)$$

Será a conjunta de  $\mathbf{z}_1, \mathbf{z}_2$

□

c)

d)

e)

Distribuição conjunta de  $y_1, y_3$  e  $\frac{1}{2}(y_1 + y_2)$

Sol.:

$$\mathbf{A} = \begin{bmatrix} 1 & 0 & 0 \\ 0 & 0 & 1 \\ \frac{1}{2} & \frac{1}{2} & 0 \end{bmatrix}$$

Será a conjunta.

Pela mesma propriedade do item anterior (b);

$$\mathbf{Ay} \sim \mathbf{N}_3\left(\begin{bmatrix} 3 \\ 4 \\ 2 \end{bmatrix}, \begin{bmatrix} 6 & -2 & 3,5 \\ -2 & 4 & 1 \\ 3,5 & 1 & 5,25 \end{bmatrix}\right)$$

□

## Questão 66

Ex. 4.11 | Rencher & Christensen

$$\mathbf{y} \sim \mathbf{N}_3(\mu, \Sigma); \mu = \begin{bmatrix} 3 \\ 1 \\ 4 \end{bmatrix}, \Sigma = \begin{bmatrix} 6 & 1 & -2 \\ 1 & 13 & 4 \\ -2 & 4 & 4 \end{bmatrix}$$

a)

Achar um vetor  $\mathbf{Z}$  tal que  $\mathbf{Z} = (\mathbf{T}')^{-1}(\mathbf{y} - \mu) \sim \mathbf{N}_3(\mathbf{0}, \mathbf{I})$ .

Sol.:

Como  $\mu$  de

$$\mathbf{y} = \begin{bmatrix} 3 \\ 1 \\ 4 \end{bmatrix}$$

, então o termo da direita fica

$$\begin{bmatrix} y-3 \\ y-1 \\ y-4 \end{bmatrix}$$

. Por outro lado, para obter  $(\mathbf{T}')^{-1}$ , devemos fazer a decomposição de Choleski; tal que  $\Sigma = \mathbf{T}'\mathbf{T} =$

```
##      [,1]  [,2]  [,3]
## [1,]  0.408  0.000  0.000
## [2,] -0.047  0.279  0.000
## [3,]  0.285 -0.247  0.731
```

Logo,

$$\mathbf{Z} = \begin{bmatrix} 0,408 & 0 & 0 \\ -0,047 & 0,279 & 0 \\ 0,285 & -0,247 & 0,731 \end{bmatrix} \begin{bmatrix} y-3 \\ y-1 \\ y-4 \end{bmatrix}$$

□

b)

c)

## Questão 67

### Ex. 4.12 | Rencher & Christensen

$\mathbf{y} \sim \mathbf{N}_4(\mu, \Sigma)$ , em que

$$\mu = \begin{bmatrix} -2 \\ 3 \\ -1 \\ 5 \end{bmatrix}, \Sigma = \begin{bmatrix} 11 & -8 & 3 & 9 \\ -1 & 9 & -3 & -6 \\ 3 & -3 & 2 & 3 \\ 9 & -6 & 3 & 9 \end{bmatrix}.$$

a)

Distribuição de  $\mathbf{z} = 4\mathbf{y}_1 - 2\mathbf{y}_2 + \mathbf{y}_3 - 3\mathbf{y}_4$ .

b)

Distribuição conjunta de  $\mathbf{z}_1 = \mathbf{y}_1 + \mathbf{y}_2 + \mathbf{y}_3 + \mathbf{y}_4$  e  $\mathbf{z}_2 = -2\mathbf{y}_1 + 3\mathbf{y}_2 + \mathbf{y}_3 - 2\mathbf{y}_4$ .

c)

Distribuição conjunta de  $\mathbf{z}_1 = 3\mathbf{y}_1 + \mathbf{y}_2 - 4\mathbf{y}_3 - \mathbf{y}_4$ ,  $\mathbf{z}_2 = -\mathbf{y}_1 - 3\mathbf{y}_2 + \mathbf{y}_3 - 2\mathbf{y}_4$  e  $\mathbf{z}_3 = 2\mathbf{y}_1 + 2\mathbf{y}_2 + 4\mathbf{y}_3 - 5\mathbf{y}_4$ .

d)

Distribuição de  $\mathbf{y}_3$ ?

d)

Distribuição conjunta de  $\mathbf{y}_2$  e  $\mathbf{y}_4$ ?

e)

Distribuição conjunta de  $\mathbf{y}_1$ ,  $\frac{1}{2}(\mathbf{y}_1 + \mathbf{y}_2)$ ,  $\frac{1}{3}(\mathbf{y}_1 + \mathbf{y}_2 + \mathbf{y}_3)$  e  $\frac{1}{4}(\mathbf{y}_1 + \mathbf{y}_2 + \mathbf{y}_3 + \mathbf{y}_4)$ .

### Questão 68

Ex. 4.13 | Rencher & Christensen

### Questão 69

Ex. 4.14 | Rencher & Christensen

### Questão 70

Ex. 4.17 | Rencher & Christensen



## Referências:

- [1] JOHNSON, Richard A; WICHERN, Dean W. APPLIED MULTIVARIATE STATISTICAL ANALYSIS. 6<sup>a</sup> Edição. Pearson, 2007.
- [2] von Borries, George. Material de aula disponível no Aprender3; Notas de aula e códigos. Análise Multivariada 1. Universidade de Brasília, 2023.
- [3] RENCHER, Alvin C; CHRISTENSEN, William F. METHODS OF MULTIVARIATE ANALYSIS. 3<sup>a</sup> Edição. WILEY, 2012.
- [4] <https://healy.econ.ohio-state.edu/kcb/Ma103/Notes/Lecture11.pdf>. Prova do Corolário 11.1.8.